

V-28 アナログ型計算機による サージタンク水位の計算について

電力中央研究所 正員 是枝 忍

1)概要 最近、サージタンクを有する水力発電所のAFC運用に関する問題が多く、その検討に電子管式アナログコンピューターが利用される傾向にある。これ迄の10数地盤のサージタンク計算経験を基に、簡単な紹介をすることとした。電子管式アナコンでは、計算上の物理量として電圧を用い、要素としては、増幅器、ポテンショメーター、非線形要素等で、それらを組合せせて計算する。特徴は、線型、非線型、微分方程式を解くに便利であるから、サージタンク計算には相当利用でき、特にパラメータの変化による応答を求めることに最も適している。しかし、数値上の問題としては、数%の誤差を生じるので、精度を要する計算には、不満足である。計算上的一般的な注意事項は次のようである。

1. なるべく増幅器を少く、簡略化できる所はして、累積誤差を避ける。
 2. 微分演算器を避け、積分演算器を使用できるように式を変換する。
 3. 計算には、変化量をすべて(初期値からの変化分)/(基準値)として無次元化し、初期値として、定常状態を選ぶ。(例: $Q_i - Q_{i0} / Q_{i0} = \Delta Q_i / Q_{i0} = 8$, 水位も、他も同様に表わす。)
 4. 計算電圧の巾をなるべく大きくし、全周波に亘ってバランスがとれるように組む。
- 2)單動型サージタンクによる基本的な説明 リードヒーリー、図-1のサージタンクにつけての基本式と、次のように変換していく。

一般に用いられる運動方程式と連続方程式は
 これを図-1の記号により書き直す。

$$\begin{cases} \frac{L}{gF} \frac{dQ}{dt} + \frac{\alpha}{f^2} Q |Q| = -H \\ Q = Q_s + Q_w \\ Q_s = F \frac{dH}{dt} \end{cases} \quad \text{--- (2)}$$

$$\begin{cases} \frac{L}{gF} \frac{d(Q_i + \Delta Q)}{dt} + \frac{\alpha}{f^2} (Q_i + \Delta Q) |Q_i + \Delta Q| = -(H_i + \Delta H) \\ Q_i + \Delta Q = Q_{si} + \Delta Q_s + Q_{wi} + \Delta Q_w \\ Q_{si} + \Delta Q_s = F \frac{d(H_i + \Delta H)}{dt} \end{cases}$$

ここで初期条件として定常状態を選ぶなら $-H_i = \frac{\alpha}{f^2} Q_i^2$, $Q_i = Q_{wi}$, $Q_{si} = 0$ で、 $q_i = \frac{Q_i}{Q_0}$ とすると
 $\begin{cases} \frac{L}{gF} \frac{dQ}{dt} + \frac{\alpha Q_0^2}{f^2 H_0} [(Q_i + q) |Q_i + q| - Q_i^2] = -R \\ Q = Q_s + Q_w \\ Q_s = \frac{F H_0}{Q_0} \frac{dh}{dt} \end{cases}$

$$\begin{cases} T_v \frac{dq}{dt} + K_c [(Q_i + q) |Q_i + q| - Q_i^2] = -R \\ q = Q_s + Q_w \\ Q_s = T_v \frac{dh}{dt} \end{cases} \quad \text{--- (3)}$$

さらにこれを積分方程式の形に直す。積分常数は0になるから

$$\begin{cases} q = \frac{1}{T_v} \int [-R - K_c [(Q_i + q) |Q_i + q| - Q_i^2]] dt \\ q = q_s + q_w, \quad R = \frac{1}{T_v} \int q_s dt \end{cases} \quad \text{--- (4)}$$

となる。これをブロック線図に書けば、図-2(a)となる。簡単のため、隧道損失を線型化して考えると
 $\frac{L}{gF} \frac{dQ}{dt} + \frac{\alpha}{f^2} Q_i^2 + \frac{\alpha'}{f} \Delta Q = -(H_i + \Delta H)$

ただし、 α' は隧道損失を線型化した時の係数で、これを合理的に選ぶことにより、かなり正確な計算をすることができる。(2), (3)式と同様にして

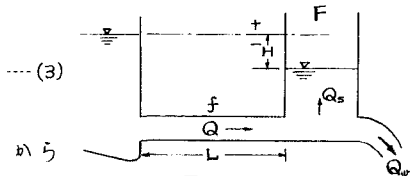


図-1 單動型サージタンク

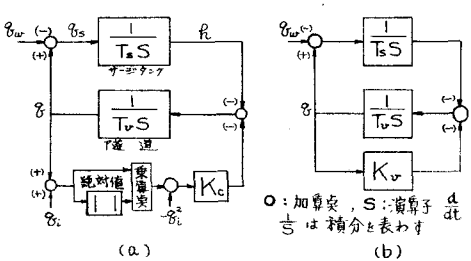


図-2 單動型サージタンク アナコンブロック線図

$$\frac{L}{g_f} \frac{dQ_o}{dt} + \frac{\alpha'}{f} \frac{Q_o}{H_o} g = -h \quad \therefore T_r \frac{d\bar{g}}{dt} + K_r \bar{g} = -h \quad \dots \dots (3')$$

(a)と同様にブロック線図を書けば、図-2(b)となる。

以下の説明は、簡単のため、線型化した場合を用いる。

實際の計算には基準電圧を例えれば 50 volt などとし、 g_{uw} の値を電圧に換算し、入力として与え、各所の応答をレコードーターに記録させて読みとる。

3)応用例

i. 差動型サージタンク (図-3, 図-4 に示した。)

$$\begin{cases} \frac{L}{g_f} \frac{dQ}{dt} = -H_r - h \\ Q = Q_t + Q_r + Q_w \\ F_r \frac{dH_r}{dt} = Q_r - Q_u \\ F_t \frac{dH_t}{dt} = Q_t + Q_u \\ Q_t = \pm \sqrt{|H_r - H_t|} \\ Q_u = \delta (H_r - H_a)^{\frac{3}{2}} \text{ or } \delta (H_t - H_a)^{\frac{3}{2}} \text{ etc.} \end{cases} \quad \begin{cases} T_r \frac{d\bar{g}_t}{dt} + K_r \bar{g}_t = -h \\ \bar{g}_t = \bar{g}_r + \bar{g}_{ur} + \bar{g}_{uw} \\ T_r \frac{d\bar{h}_r}{dt} = \bar{g}_r - \bar{g}_u \\ T_t \frac{d\bar{h}_t}{dt} = \bar{g}_t + \bar{g}_u \\ \bar{g}_t = \pm K_t \sqrt{|h_r - h_t|} \\ \bar{g}_u = K_u (h_r - h_a) \text{ etc.} \end{cases}$$

この中で、越流量に関しては、上記の式を用い、さらにそれを線型化しても實際上差支えないと思われる。

ii. 複雑なサージタンクの場合

例として、図-5 の場合をとり、ブロック線図に示せば、図-6 となる。

$$\begin{cases} \frac{L_1}{g_f} \frac{dQ_1}{dt} = -H_r - h_1 Q_1 \\ Q_1 + Q_3 = Q_t + Q_r + Q_w \\ F_r \frac{dH_r}{dt} = Q_r - Q_u \\ F_t \frac{dH_t}{dt} = Q_t + Q_w \\ \frac{L_2}{g_f} \frac{dQ_2}{dt} = -H - h_2 Q_2 \\ Q_2 = Q_s + Q_3 \\ F \frac{dH}{dt} = Q_s - Q_u \\ \frac{L_3}{g_f} \frac{dQ_3}{dt} = -(H_r - H) - h_3 Q_3 \\ Q_t = \pm \sqrt{|H_r - H_t|} \\ Q_w = \delta_a (H_r - H_a)^{\frac{3}{2}} \\ Q_u = \delta_b (H - H_b)^{\frac{3}{2}} \end{cases} \quad \begin{cases} T_r \frac{d\bar{g}_1}{dt} + K_{r1} \bar{g}_1 = -h \\ \bar{g}_1 + \bar{g}_3 = \bar{g}_t + \bar{g}_{ur} + \bar{g}_{uw} \\ T_r \frac{d\bar{h}_r}{dt} = \bar{g}_r - \bar{g}_u \\ T_t \frac{d\bar{h}_t}{dt} = \bar{g}_t + \bar{g}_{ur} \\ T_{w2} \frac{d\bar{g}_2}{dt} + K_{w2} \bar{g}_2 = -h \\ \bar{g}_2 = \bar{g}_s + \bar{g}_3 \\ T_s \frac{d\bar{h}_s}{dt} = \bar{g}_s - \bar{g}_u \\ T_{w3} \frac{d\bar{g}_3}{dt} + K_{w3} \bar{g}_3 = -(h_r - h) \\ \bar{g}_t = \pm K_t \sqrt{|h_r - h_t|} \\ \bar{g}_{ur} = K_{ur} (h_r - h_a)^{\frac{3}{2}} \\ \bar{g}_u = K_u (h - h_b)^{\frac{3}{2}} \end{cases}$$

i, ii の場合は、越流部等故意に異なった書き方をしたが、實際の計算では、図-4 の計算法を用いる方が良い。
なおこの他、さらに複雑なものでは、小容量調整池を挿入、連接した不調整用発電所のサージタンクおよび、調整池水位制御装置の運用等に関する計算も行なっているが、他の機会にゆずることにする。

これ等の計算には、当研究所第1部 尾出和也氏の御援助に負う所が大である。附記して謝意を表したい。

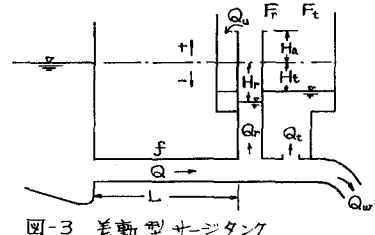


図-3 差動型サージタンク

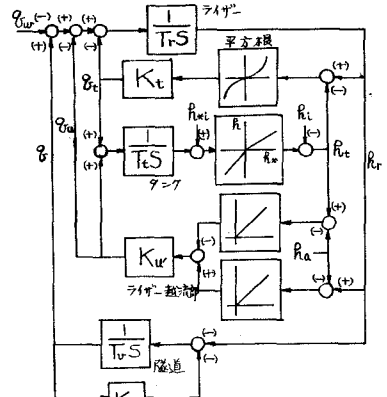


図-4 差動型サージタンクアコンブロック線図

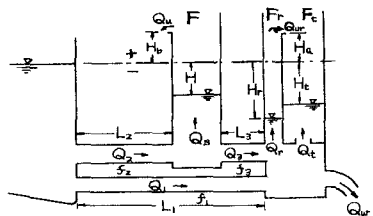


図-5 複雑なサージタンク

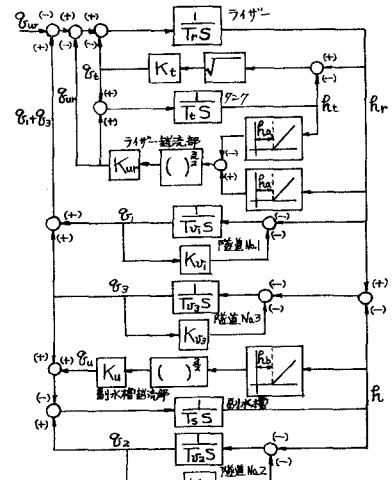


図-6 複雑なサージタンクアコンブロック線図